

Н.Н. ЧЕРНЫШОВ, канд. техн. наук, Н.И. СЛИПЧЕНКО, д-р физ.-мат. наук.,
А.В. БЕЛОУСОВ, канд. техн. наук., М.А.Ф. АЛКХАВАЛДЖЕХ

ФОТОГАЛЬВАНИЧЕСКИЙ ЭФФЕКТ ПРИ ОПТИЧЕСКИХ ПЕРЕХОДАХ ДЛЯ УЛЬТРАКВАНТОВОГО ПРЕДЕЛА МЕЖДУ СПИНОВЫМИ ЗОНАМИ УРОВНЕЙ ЛАНДАУ

Введение

Статья посвящена исследованию фотогальванического эффекта (ФГЭ) в GaAs при оптических переходах между спиновыми зонами уровней Ландау для ультраквантового предела. Рассмотрена геометрия, когда поляризация перпендикулярна, а ток направлен вдоль магнитного поля. Эффект обусловлен кубическими членами в гамильтониане, существующими из-за отсутствия центра инверсии. Зависимость тока от магнитного поля имеет резонансный характер, причем содержит как четный, так и нечетный по полю вклады. Такой характер эффекта связан с резонансом в промежуточном состоянии и интерференцией амплитуд перехода второго порядка по релятивистским вкладам в гамильтониане. Проводится сравнение теории с экспериментом. Начиная с работы Рашба явление комбинированного резонанса (поглощение света за счет электрической компоненты электромагнитной волны, обусловленное электронными переходами с переворотом спина) продолжает оставаться в сфере интересов физики полупроводников. Исследовано явление интерференции магнито- и электродипольного резонансов в конфигурации Фойгта. Как и поглощение света, так и ФГЭ определяются отсутствием центральной симметрии среды [1 – 5].

Цель статьи – теоретическое исследование ФГЭ при спиновом резонансе, которые могут дополнить эксперименты по поглощению света как метод измерения зонных параметров. Одни и те же слагаемые в гамильтониане могут приводить к электродипольным переходам и к току ФГЭ. Рассчитано распределение ЭДС вдоль направления магнитного поля \mathbf{H} при распространении света вдоль того же направления (геометрия Фарадея).

Фотогальванический эффект при спиновом резонансе

Рассмотрим уравнение для спинового перехода, отвечающее суперквантовому пределу: $\omega > E_f, \omega_s = |g| \mu_B \mathbf{H} \gg T E_f$ – уровень Ферми относительно нижней спиновой зоны, μ_B – магнетон Бора. Поляризация света и ориентация магнитного поля \mathbf{H} относительно кристаллографических осей произвольные; $U(\mathbf{r}) = \sum_i u(\mathbf{r} - \mathbf{r}_i)$ – потенциальная энергия взаимодействия электронов с хаотически распределенными примесями (\mathbf{r}_i – координата i -го примесного центра). Гамильтониан рассматриваемой системы имеет вид $H = H_0 + H_1 + H_2 + H_v + U + F$, где H_0 – гамильтониан свободного электрона в параболическом приближении. Слагаемые H_1, H_2, H_v соответствует трем возможным механизмам перехода с переворотом спина.

Нечетная по импульсу часть функции распределения, дающая вклад в ток, может возникнуть вследствие нечетности функции генерации. В первом порядке теории возмущений асимметричная часть вероятности перехода возникает за счет интерференции вкладов F_1 и F_2

$$\omega_{L\beta}^{(1)} = \frac{\pi}{2} \text{Re} [(F_2)_{\beta L} (F_1)_{\beta L}^*], L = \mathbf{p}_+, \beta = \mathbf{p}_-; \quad (1)$$

Зависимость от направления \mathbf{H} относительно кристаллографических осей заключена в коэффициентах B_{ijk} (Φ и Θ – азимутальный и полярный углы с осью (100)):

$$\begin{cases} B_{133} = \cos 2\Phi \cos 2\Theta - i/2 \sin 2\Phi \cos \Theta (3 \cos^2 \Theta - 1); \\ B_{233} = -3i/2 \sin 2\Phi \sin \Theta \sin 2\Theta. \end{cases} \quad (2)$$

Проанализированы слагаемые, возникающие из-за нечетности вероятности рассеяния на примесях по \mathbf{p} . В суперквантовом пределе (в отличие от случая отсутствия \mathbf{H}) эти слагаемые не приводят к ФГЭ. Нечетность функции генерации отсутствует в параболическом приближении для спектра электронов. С учетом непараболичности спектра найден вклад в ток [6]

$$\mathbf{j}_z^{(1)} = -\frac{\mathbf{e}^3 \delta_0 \tilde{g} \omega_s^2 \mathbf{E}_0^2 m}{\pi a^4 |g| \varepsilon_s \omega^2} \int d\mathbf{p}_z f_{p,z}^{(0)} + \frac{\partial}{\partial m} (\tau_{p_z} + v_{p_z,+}^z) \times \mathbf{p}_z (a^2 \mathbf{p}_z^2 - 1/2) P \delta_\eta(\Delta). \quad (3)$$

Здесь $P = \text{Re}(\mathbf{e}_+ \mathbf{e}_+^* B_{133})$, $\delta_\eta(\Delta) = \eta / \pi(\Delta^2 + \eta^2)$ – дельта-функция, $\Delta = \omega - \omega_s$ – отстройка от резонанса, η – уширение.

Помимо рассмотренного вклада в ток имеются еще слагаемые, связанные с учетом вклада в асимметричную вероятность перехода с переворотом спина от взаимодействия электронов с примесями. ФГЭ при этом определяется резонансом в промежуточном состоянии. Причина этого аналогична причине возникновения резонансного ФГЭ в квантовой пленке. Эти вклады возникают при учете интерференции амплитуд перехода первого и второго порядков.

Для случая ($\Delta \ll \lambda$) получено уравнение для вклада плотности тока [7; 8]

$$\mathbf{j}_z^{(2)} + \mathbf{j}_z^{(3)} = -\frac{4\pi\alpha_s \mathbf{e}^3 \mathbf{n} \langle \lambda \rangle}{a^2 \omega^2} \mathbf{E}_0^2 \left\{ \delta_\eta(\Delta) - \frac{\tilde{g} \omega_s}{\alpha_s |g|} \dot{\delta}_\eta(\Delta) \right\} \dot{P}, \dot{P} = |\mathbf{e}_+|^2 \text{Im} B_{233} + \text{Im}(\mathbf{e}_+^* \mathbf{e}_- B_{133}). \quad (4)$$

На рис. 1 – 4 приведены зависимости сигналов ФГЭ от \mathbf{V} поляризаций, $U \times 10^7, B$.

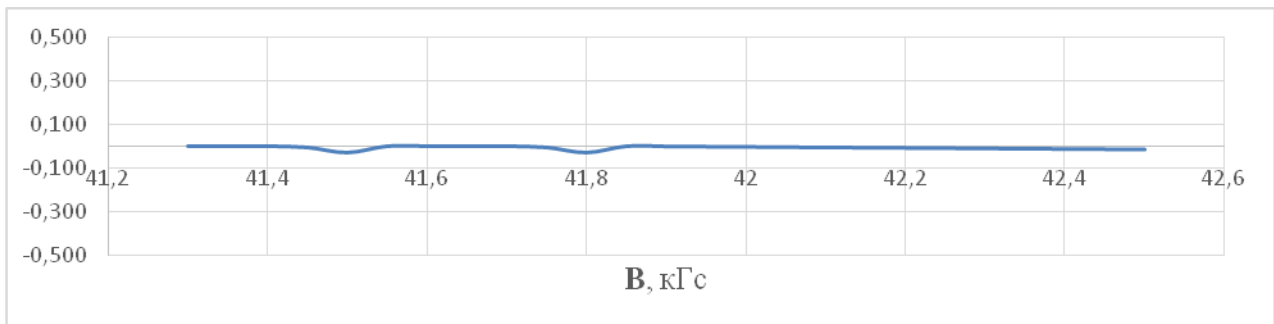


Рис. 1. Левая циркулярная поляризация

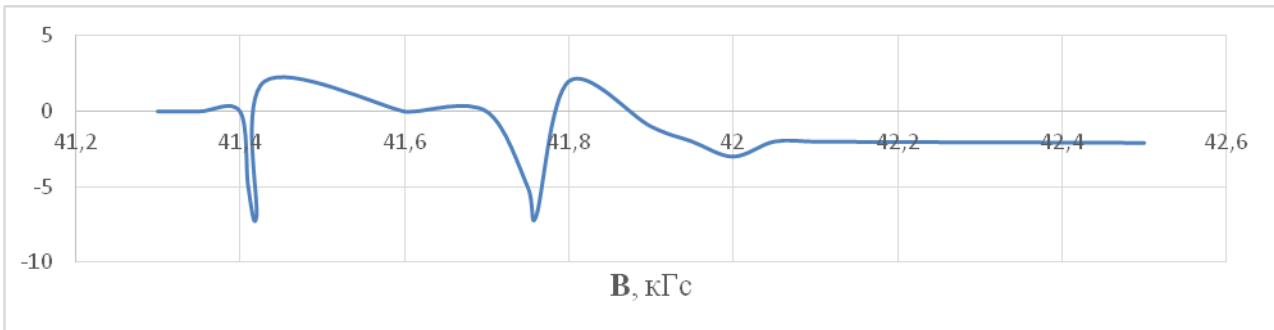


Рис. 2. Правая циркулярная поляризация

Проведены измерения ФГЭ и эффекта увеличения на спиновых переходах в GaAs. Анализ результатов показал, что измеряемые сигналы не зависят от угла между вектором линейной поляризации и кристаллографическими направлениями в плоскости (111). Из рисунка видно, что эффект существует только для линейной и правой циркулярной поляризаций. Амплитуда сигнала для циркулярной поляризации в два раза больше чем линейной. Изменение знака \mathbf{B} не влияет на величину эффекта при линейной поляризации излучения. Сигнал содержит как четный, так и нечетный по настройке резонанса вклады.

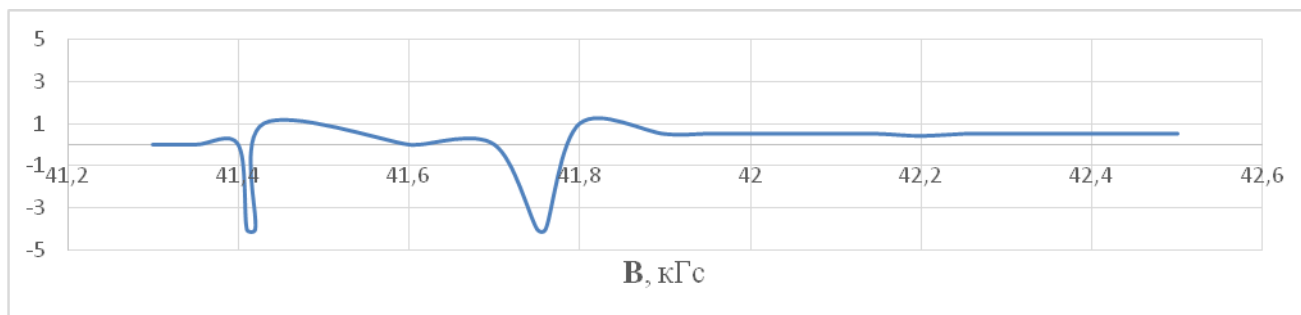


Рис. 3. Линейная диаграмма

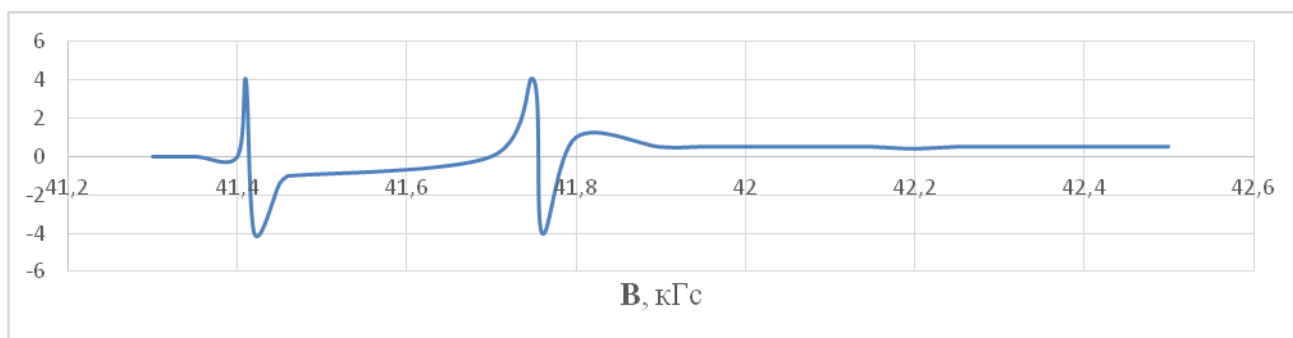


Рис. 4. Фононное увеличение

Из сравнения теоретической и экспериментальной величин сигнала видно, что параметры четного вклада в ориентации магнитной индукции $\mathbf{B} // [001]$ хорошо согласуются. Для нечетного вклада величина сигнала 4.7×10^{-4} В, что превышает экспериментальное значение 4.2×10^{-7} В. Теория эффекта хорошо описывает наблюдаемые поляризационные зависимости в рассмотренных ориентациях \mathbf{B} относительно кристаллографических направлений. Сравнение теоретической и экспериментальной величин сигналов для четного по настройке от резонанса вклада позволяет определить параметры \tilde{g} и α_s . Значения этих параметров находятся в хорошем соответствии с их величинами, вычисленными в модели Кейна. Теоретическая величина нечетного вклада по Δ почти на три порядка превышает экспериментально наблюдаемую величину. Это связано с тем, что неоднородность \mathbf{B} в объеме, занимаемом образцом, приводит к подавлению знакопеременного сигнала и слабо влияет на величину знака постоянного вклада.

Усиление высокочастотного поля в неупорядоченной диэлектрической среде

Рассмотрим вопрос о распределении электрического поля \mathbf{E} в слабопоглощающей среде. В случайно-неоднородных макроскопических средах, построенных из непоглощающих микроскопических частей, вследствие раскачки локальных плазмонов происходит усиление локальных \mathbf{E} . В такой среде расходятся средние значения от четных степеней модуля \mathbf{E} и являются определяющими для различных нелинейных откликов системы, что приводит к их

усилению. Двухфазная среда, состоящая из двух статистически перемешанных компонент ε_1 и ε_2 обладает эффективной диэлектрической проницаемостью [9 – 12]

$$\varepsilon_{\text{eff}} = \sqrt{\varepsilon_1 \varepsilon_2}, \quad (5)$$

Если обе среды являются металлами, описываемыми моделью Друде – Лоренца

$$\varepsilon_{1,2} = 1 - \omega_{p(1,2)}^2 / \omega \left(\omega + \frac{i}{\tau_{1,2}} \right), \quad (6)$$

и поглощение в них очень мало $\tau \rightarrow \infty$, то исходные среды не обладают поглощением. Если частота света ω лежит между плазменными частотами ω_{p1} и ω_{p2} , в среде возникает конечное поглощение. Это явление связано с возникновением окна между ω_{p1} , ω_{p2} и локальными плазмонами. Перекачка энергии света в плазмоны дает конечное поглощение без столкновений. В работе [13] вычислены средние значения квадрата комплексного \mathbf{E} и квадрата модуля поля

$$\langle |\mathbf{E}|^2 \rangle = \frac{(1 + |\varepsilon_2 / \varepsilon_1|)}{\sigma_1 |\varepsilon_2 / \varepsilon_1| + \sigma_2} \langle \mathbf{E} \rangle^2; \quad \langle \mathbf{E}^2 \rangle = \frac{1}{2} \varepsilon_{\text{eff}} \frac{\varepsilon_1 + \varepsilon_2}{\varepsilon_1 \varepsilon_2} \langle \mathbf{E} \rangle^2. \quad (7)$$

Величина $\langle |\mathbf{E}|^2 \rangle$ расходится, а $\langle \mathbf{E}^2 \rangle$ остается ограниченной при увеличении времени релаксации. Из неравенства Коши – Буняковского $\langle |\mathbf{E}|^{2n} \rangle \geq \langle |\mathbf{E}|^2 \rangle^n$ следует расходимость более высоких моментов $|\mathbf{E}|^2$. Пространственное распределение \mathbf{E} неоднородно – в среде возникают “горячие точки”. В работе [14] сделано решение для ε_{eff} конечной 2D двухфазной модели неупорядоченной среды, возникающей при иерархическом смешивании фаз с разными ε . Модель Морозовского – Снарского базируется на построении среды путем последовательных и параллельных соединений исходных фаз. В ней складываются тонкие слои с проводимостями $\sigma_{1,2}$ при равной толщине. Полученная среда с главными значениями $\dot{\sigma}_{1,2}$ имеет анизотропную проводимость. На следующем этапе иерархии процедура повторяется: из получившейся среды вырезаются в направлении 1 и 2 осей слои равной толщины, а потом собираются. В модели используется два этапа итерации, одна из сред заменяется пустыми промежутками. В результате возникает цепочка проводимостей $\sigma_{1,2}^n$. Бесконечное повторение процедуры приводит к одинаковым значениям $\sigma_{1,2}^\infty$, совпадающим с соотношениями Дыхне [14]

$$\sigma_1^\infty = \sigma_2^\infty = \sigma_{\text{eff}} = \sqrt{\sigma_1 \sigma_2}. \quad (8)$$

Для случая постоянного тока $\varepsilon_{1,2}$ имеет мнимое значение, а получившаяся цепочка сходится к результату Дыхне. То же справедливо для случая действительных положительных $\varepsilon_{1,2}$, соответствующих статической ε . Задача сводится к нелинейному рекуррентному соотношению для диэлектрических проницаемостей. Величины ε на n -м этапе итерации сворачиваются в элементарную функцию. При большом n , и $h = \varepsilon_1 / \varepsilon_2 < 0$ величины z_n быстро осциллируют как функции h . На малом промежутке по h их поведение совпадает с тангенсами. При $h \sim 1$ расстояние между соседними нулями или полюсами z_n имеет порядок величины $\pi 2^{-n}$, то есть при увеличении n на 1 частота осцилляций удваивается.

Фотогальванический эффект в оптически-неупорядоченной среде

Большой интерес представляет приложение результатов исследований к ФГЭ, который является частным случаем нелинейных электромагнитных эффектов. ВЧ поляризация \mathbf{D}^ω и плотность стационарного тока \mathbf{j}^0 в среде может быть описана уравнениями:

$$\mathbf{D}_i^\omega = \varepsilon^\omega(\mathbf{r})\mathbf{E}_i^\omega; \quad \mathbf{j}_i^0 = \sigma^0(\mathbf{r})\mathbf{E}_i^0 + \alpha_{ijk} \mathbf{E}_j^\omega \mathbf{E}_k^{-\omega}, \quad (9)$$

где $\mathbf{E}_k^{-\omega} = (\mathbf{E}_k^\omega)^*$. Первый член описывает ВЧ часть поляризации среды на оптических частотах ω , второй – НЧ электрический ток ФГЭ. Обе величины удовлетворяют уравнениям Максвелла

$$\begin{cases} \nabla \mathbf{j}^0 = 0; \nabla \times \mathbf{E}^0 = 0; \\ \nabla \mathbf{D}^\omega = 0; \nabla \times \mathbf{E}^\omega = 0. \end{cases} \quad (10)$$

ВЧ диэлектрическая проницаемость $\varepsilon^\omega(\mathbf{r})$ и проводимость на нулевой частоте $\sigma^0(\mathbf{r})$ предполагается случайными функциями координат. По аналогии с σ_{eff} можно ввести эффективный фотогальванический коэффициент $\alpha_{ijk}^{\text{eff}}$. Тогда [13]

$$\langle \mathbf{j}_i \rangle = \varepsilon_{ijk} \langle \mathbf{E}_j^\omega \mathbf{E}_k^{\omega*} \rangle = \alpha_{ijk}^{\text{eff}} \langle \mathbf{E}_j^\omega \rangle \langle \mathbf{E}_k^{\omega*} \rangle. \quad (11)$$

Среднее значение тока дает вклад не только в ФГЭ, но и статический отклик, связанный с перераспределением статического поля. Статический отклик описывается первым членом в уравнении для \mathbf{j}_i^0 . Однако среднее значение от этого члена обращается в нуль, если $\sigma^0(\mathbf{r}), \varepsilon^\omega(\mathbf{r}), \mathbf{E}^\omega(\mathbf{r})$ являются независимыми случайными величинами, либо $\sigma(\mathbf{r})$ не зависит от координат. В этом случае уравнение для эффективной фотогальванической константы $\alpha_{ijk}^{\text{eff}}$ определяется усреднением второго слагаемого в уравнениях (9) и сводится к среднему значению $\langle \mathbf{E}_j^\omega \mathbf{E}_k^{\omega*} \rangle$. Предположим, что электромагнитная волна падает на образец перпендикулярно его плоскости, среда изотропна и имеет 2D неоднородность: $\varepsilon^\omega(\mathbf{r}) = \varepsilon^\omega(x, y)$, а статическая проводимость не зависит от координат. Тогда в плоскости отсутствует направление и для компонент $(i, j) = (x, y)$ тензор средних значений выражается через среднее от квадрата модуля $\langle \mathbf{E}_j^\omega \mathbf{E}_k^{\omega*} \rangle = 0.5 \delta_{ij} \langle |\mathbf{E}^\omega|^2 \rangle$. Для модели ВЧ ε выберем модель Друде – Лоренца

$$\varepsilon_{1,2} = 1 - \frac{\omega_{P(1,2)}^2}{\omega \left(\omega + \frac{i}{\tau_{1,2}} \right)}. \quad (12)$$

В рассматриваемом пределе НЧ σ слабо зависит от координат, в то время как ВЧ ε в разных точках имеет разные знаки. К рассматриваемым объектам относятся композиты полупроводник-полупроводник, металл-диэлектрик, металл-металл. Они состоят из компонент с близкими свойствами в определенной области частот. Тогда мнимая часть ε меньше действительной части, а локальные $\dot{\varepsilon}_{1,2}$ имеют разные знаки. Это возможно в полупроводниках [15]:

- в окрестности плазменного резонанса на свободных носителях;
- в области частот, существенно превышающих край оптического поглощения;
- в области поляризованного резонанса.

При $\alpha_{ixx} = \alpha_{iyy} = \alpha_i$, совпадающих в обеих средах, получаем уравнение для среднего фототока:

$$\langle \mathbf{j}_i \rangle = \alpha_i \frac{(|\varepsilon_1| + |\varepsilon_2|) \operatorname{Im}(\sqrt{\varepsilon_1 \varepsilon_2})}{\ddot{\varepsilon}_1 |\varepsilon_2| + \ddot{\varepsilon}_2 |\varepsilon_1|} |\langle \mathbf{E}^\omega \rangle|^2 = \alpha_i^{\text{eff}} |\langle \mathbf{E}^\omega \rangle|^2. \quad (13)$$

Из уравнения видно, что в области слабого локального поглощения ($\ddot{\varepsilon}_{1,2} \rightarrow 0$) знаменатель стремится к нулю, в то время как числитель при $\varepsilon_1 \varepsilon_2 < 0$ остается конечным, т. е. происходит усиление фотогальванического тензора. Именно при этих условиях в слабо поглощающей среде остается конечной мнимая часть ε_{eff} . Причина этого эффекта заключается в расщеплении локального поля, а величина квадрата модуля \mathbf{E} определяется балансом макроскопического поглощения и скорости локальных потерь, определяемых $\ddot{\varepsilon}$. В области прозрачности среды $\varepsilon_1 \varepsilon_2 > 0$ эффективный фотогальванический тензор имеет такой же порядок, как

и локальный. В качестве примера материала рассмотрим несимметричный кристалл GaAs, в котором симметрия разрешает объемный ФГЭ. Будем предполагать, что объемный образец построен из чередующихся сильно- и слаболегированных “столбиков” вдоль оси $0z = (111)$, совпадающей с нормалью к поверхности образца, со статическими свойствами. ФГЭ будет усилен в области частот между плазменными частотами свободных электронов. В GaAs фотогальванический тензор имеет только равные друг другу компоненты α_{123} . Используя ориентацию осей $0x = (01\bar{1})$; $0y = (\bar{2}11)$, находим $\mathbf{j}_x = 0$ и $\mathbf{j}_y = \sqrt{2/3} \alpha_{\text{eff}} |\langle \mathbf{E}^\omega \rangle|^2$. Отметим, что использованное приближение малости флуктуаций статической σ не влияет на порядок величины ответа, пока эти флуктуации не превышают среднюю величину проводимости: $\ln(\sigma/\langle \sigma \rangle) \leq 1$. Это происходит потому, что усиление ФГЭ обусловлено не близостью к порогу перколяции, а возможностью поглощения поля в среде при отсутствии локальных потерь. В пределе НЧ света усиление $\langle \mathbf{E} \rangle^2$ возникает в системе металл-диэлектрик, где малое отношение статических проводимостей $h = \sigma_1 / \sigma_2$ определяет близость к порогу перколяции. В перколяционной системе с проводимостями σ_1 и σ_2 средний квадрат поля [16]

$$\langle \mathbf{E}^2 \rangle = \frac{\sigma_1 + \sigma_2}{\sqrt{\sigma_1 \sigma_2}} \langle \mathbf{E} \rangle^2. \quad (14)$$

Если одна из величин $\sigma_{1,2}$ стремится к нулю, а вторая ограничена, то $\langle \mathbf{E}^2 \rangle \rightarrow \infty$. В отличие от ВЧ случая, в этом пределе для нахождения $\langle \mathbf{j}_i \rangle$ недостаточно усреднять его величину, а необходимо решать уравнение на статическое \mathbf{E} во втором порядке.

Выводы

Освещение однородной неполярной среды без центра инверсии может приводить к возникновению стационарного тока, направление которого связано с поляризацией электромагнитного поля тензором третьего ранга и не зависит от волнового вектора. В области примесью-зонных переходов ФГЭ определяется асимметрией вероятности ионизации примесей из-за наличия мультипольных моментов в распределении заряда. В области межзонных оптических переходов ФГЭ обусловлен кулоновским взаимодействием между образующимися свободными дыркой и электроном. Приложение переменного напряжения к проводящей среде, не обладающей центром инверсии, сопровождается возникновением стационарного тока, связанного с асимметрией рассеяния электронов на примесях и фононах.

Оптические переходы между спиновыми уровнями в квантовом магнитном поле приводят к возникновению резонансного ФГЭ. Резонанс обусловлен интерференцией различных

амплитуд перехода. Он может иметь как пикообразный вид, так и представлять антисимметричные фанорезонансы, в зависимости от поляризации и частоты света. ВЧ диэлектрическая проницаемость случайной разупорядоченной среды в отсутствие поглощения не сходится к конечному пределу при стремлении размеров среды к бесконечности, что происходит в результате возникновения хаотических резонансно-поглощающих областей (горячих точек). В результате происходит усиление нелинейных эффектов, в частности ФГЭ.

Наличие границ образца приводит к понижению симметрии кристалла и, как следствие отсутствия инверсии в системе образец + поле, к фототоку вдоль границы (пленочный ФГЭ). Этот эффект возможен в кристалле с центром инверсии, если либо поверхность кристалла не является плоскостью симметрии кристалла, либо поляризация наклонно направлена относительно поверхности. В размерно-квантовой системе поверхностный фотогальванический ток содержит резонансы, связанные с межзонными переходами. Резонансы обусловлены промежуточными состояниями для перехода и могут быть как симметричными, так и антисимметричными функциями частоты.

Список литературы:

1. Edelstein V.M. Inverse Faraday Effect in Conducting Crystals Caused by a Broken Mirror Symmetry // *Phys. Rev. Lett.* – 1998. – v.80. – p.5766-5769.
2. Bychkov Yu. A. and Rashba E.I. *JETP Lett.* – 1984. – v.39. – p.78.
3. Rashba E.I., Sheka V.I. In book: *Landau Level Spectroscopy*. Netherlands, 1991. – p.178.
4. Chen Y.F., Dobrovolska M. Interference of electric-dipole and magnetic-dipole interactions in conduction-electron-spin resonance // *Phys. Rev. B.* – 1985. – v.32. – p.890-902.
5. Dresselhaus G. Spin-Orbit Coupling Effects in Zinc Blende Structures // *Phys. Rev.* – 1955. – v.100. – p.580-586.
6. Barkan I.B., Entin M.V., Marennikov S.I. Holographic storage in LiNbO_3 at high temperature // *Phys. Stat. Solidi (a)*. – 1976. – v.38. N 2. – p.K139-K142.
7. Chaplik A.V., Entin M.V., Magarill L.I. Spin orientation of electrons by lateralelectric field in 2D system without inversion symmetry // *Physica E.* – 2002. – v.13. – p.744-747.
8. Brouers F., Blacher S., Sarychev A.K. *Fractal Reviews in the Natural and Applied Sciences*, 1995. – p.237-240.
9. Brouers F., Blacher S., Henriouille N., Sarychev A. *Electrical Transport and Optical Properties of inhomogeneous media.* – M. : Scientific Center for Applied Problems in Electrodynamics, 1996. – p.46.
10. Clerc J.P., Giraud G., Laugier J.M., Luck J.M. *Advances in Physics.* – 1990. – v.39. – p.191-204.
11. Sarychev A.K., Shubin V.A., Shalaev V.M. Anderson localization of surface plasmons and nonlinear optics of metal-dielectric composites // *Phys. Rev. B.* – 1999. – v.60. – p.16389-16408.
12. Brouers F., Henriouille N., Sarychev A. *Electrical Transport and Optical Properties of inhomogeneous media.* – M. : Scientific Center for Applied Problems in Electrodynamics, 1996. – p.46.
13. Kraut W., Baltz R. Anomalous bulk photovoltaic effect in ferroelectrics: a quadratic response theory // *Phys. Rev. B.* – 1979. – v.19, N 3. – p.1548-1554.
14. Baltz R., Kraut V. A model calculation to explain the existence of bulk photo-current in ferroelectrics // *Sol. St. Com field m.* – 1978. – v.26, N 5. – p.961-963.
15. Chernyshov N.N., Slusarenko A.A. Study the photovoltaic effect in the spin resonance for crystals without inversion centre // *Zbior artykulow naukowych / Inzynieria i technologia. Nauka wczoraj, dzis, jutro; Warszawa, 02.2016.* p.53-58.
16. Chernyshov N.N. Conductivity of multicomponent electron gas // *Radioelectronics & informatics.* – 2015. – №1. – p.23-25.

*Харьковский национальный
университет радиоэлектроники*

Поступила в редколлегию 11.07.2018